

## ぶらさがりが脊柱に及ぼす影響についての X 線学的検討\*

岡部正博・塩谷宗雄\*

(昭和 53 年 12 月 1 日受付)

### Roentgenologic analysis on the Effect of Hanging-down

By Masahiro OKABE and Muneo SHIOTANI

This study was undertaken to investigate the effect of hanging-down when applied as traction treatment in the field of orthopedics, and to find out more effective method.

Method: Roentgenologic reference; X-ray photographs of 48 subjects were taken in the case of a front view to bring L<sub>3</sub> into focus and the case of a side view to bring L<sub>5</sub> into focus under the X-ray illumination with an image amplifier

- Results: 1) Reform of scoliosis by hanging-down was recognized.  
2) Extension by hanging-down for 60 seconds gradually increased.  
3) Extension at the load of 2/3 body weight, body weight and body weight plus 10 kg showed at a rate of the following figures; 4.42, 6.33 and 8.67 mm.  
4) It was recognized that the less the interval time of hang-down the more the increase of extension.  
5) There was shown an increasing tendency in anterior intervertebral spaces of L<sub>4-5</sub>.  
6) There was no change in extension between the traction at the load of 20 kg and hanging-down.  
7) There was shown an increasing tendency in the length of anterior-posterior intervertebra; spaces of L<sub>4-5</sub> and L<sub>5-S</sub> by hanging-down in flexion posture at the hip joint's angles of 135° and 90°.

Summary; By reasons above mentioned, it is considered that hanging-down alleviates the low back pain caused by L<sub>4-5</sub> and has the same effect as the interval traction in the sense of muscles and fasciae contraction and expansion. Therefore hanging-down reforms the scoliosis and this effects range over. Hanging-down becomes by the following procedures.

- 1) To prolong endurance time. 2) To increase the frequency. 3) To increase the work load. 4) To hanging-down in flexion posture at the joint's angles of 135° and 90°.

### 緒論

整形外科領域では、既に古くから脊柱の変形、腰痛症、頸肩腕症候群等の疾患に対し牽引療法が行なわれている。この場合、脊柱を垂直方向に牽引するもので、頭頸関節部で下顎、後頭部を含め特殊な皮ベルトで固定し、重錘、電動、体重により牽引するのである。

水平牽引、垂直牽引、斜面牽引のいずれにし

ても、場合によっては体重にプラスして種々な負荷を加え牽引しているのであるが、その牽引方法は純然たる他動的、力学的な牽引力によるものである。

我々の行なっているぶらさがり法は、垂直方向に体重による牽引という点では同一であるが、この場合は、両側手指にて鉄棒その他を保持し懸垂するので自動的、随意的な意志による運動

\* 第 33 回日本体力医学会発表

\*\* 社会体育学研究室

であることが根本的な相違点である。

牽引療法の臨床的価値は、これまでの諸家の報告からも、対象を選べば優れた保存的治療のひとつとして高く評価されており、ぶらさがり法も牽引療法の実践的応用としてその価値を減ずるものではなく、現存の治療医学から予防医学への先駆として高く評価されるものだと確信する。しかし、ぶらさがりの実践的価値は認められるものの、その根拠については、推論の域を脱しない面が多く現在に至っている。そこで著者らは、ぶらさがりにおける臨床的意義を明らかにし、さらに、ぶらさがりの効果的方法を解明すべくX線学的検索を行った。

## 方 法

被検者は体育専攻学生における青年男子36例、同女子2例、およびH市の農業従事者男子10例、計48例に対し、Th<sub>11</sub>-Sまで撮れる4つ切フィルムにて1名につき4~10枚、計287枚のX線撮影を行った。

立位正面像では、L<sub>3</sub>を焦点とするために腰椎をimage amplifierで透視し、X線焦点を体表にチェックした。しかし、ぶらさがり時では、腰椎の下降及び上肢の挙上による皮膚の上昇を伴うことから、体表のチェックポイントはL<sub>2</sub>付近となる為、予備実験を行なうことにより誤差を計測し、立位時の焦点から4cm下方であることを確認し撮影を行った。尚、立位およびぶらさがり側面像はX線焦点をL<sub>5</sub>とし、焦点

距離は1mである。

### 1) 計測方法

- a) 側弯度 頂骨を中心としたCobb法にて計測
- b) 腰椎椎体間の伸長 正面像のTh<sub>12</sub>上縁～L<sub>5</sub>棘突起上縁間における距離のぶらさがり時と立位時の差を、カワサキ製ノギスにて計測(図1)

### 2) 条件

- a) 側弯矯正 開脚立位正面像とぶらさがり正面像の側弯度計測
- b) 腰椎椎体間の伸長 同上の伸長計測
- c) 持続ぶらさがり 60秒間持続ぶらさがりを5, 15, 30, 60秒毎に継続X線撮影
- d) 負荷量の変化 2/3加重、体重、体重プラス10kgの3条件(体重プラス10kgは、腰部に牽引用コルセットを装着させ、ロープで10kgバーベルの中央を通しそれに接続した。)
- e) ぶらさがり後の経過 30秒間のぶらさがり後、10, 20, 40秒、1, 5, 10分の継続撮影(1分までは安静立位の休息であり、5分以降は安静座位の休息とした。)
- f) 牽引とぶらさがり 重錘牽引20kg時およびぶらさがり時の30, 60秒を継続撮影
- g) 椎間腔と椎間角 立位及びぶらさがり側面像のL<sub>4-5</sub>・L<sub>5</sub>-S前・

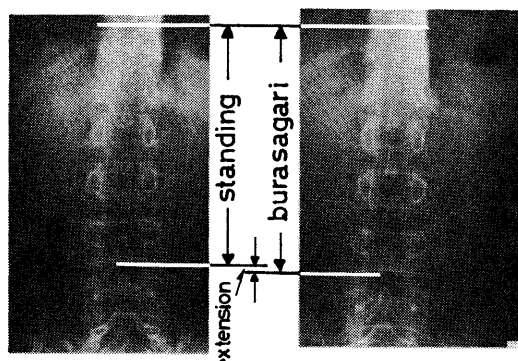


図1 腰椎椎体間の伸長

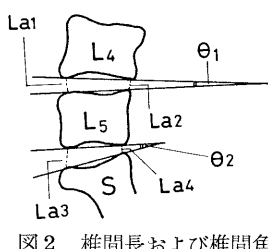


図2 椎間長および椎間角

## 後部椎間距離と椎間角の計測(図2)

## h) 前屈曲ぶらさがり

肩峰突起後外端、大腿骨大転子、大腿骨外上果中央との3点を結ぶ内角 $135^\circ$ ,  $90^\circ$ ,  $80^\circ$ なる前屈位静止時

## 結果および考察

## a) 側弯矯正

開脚立位における腰椎正面像を、43例について撮影した結果、中高年の立位側弯度は平均 $4.70^\circ$ であり、レ線所見では骨増殖の著しい変形性脊椎症1例、骨棘形成2例であった。

同様に、青年の立位側弯度の平均は $3.13^\circ$ と中高年に比し青年の値は低く、100%側弯に対しstraight 11例(31%)の加令による側弯度の相違が認められた。(表1, 2)尚、青年のレ線所見は、脊椎分離症2例であった。

側弯の頂骨部位は、L<sub>3</sub>の21名を最高にL<sub>4</sub>・

L<sub>2</sub>と腰椎中央部に集中する傾向がみられるが、本人の側弯意識はなかった。また、全例の側弯方向は、右凸側弯43%, 左凸側弯28%, S字側弯4%, straight 24%であり、右肩下がりの習慣性側弯が全体の43%を占めた。

ぶらさがりの側弯矯正における中高年の平均は、 $4.70^\circ$ から $2.55^\circ$ 、青年は $3.13^\circ$ から $1.14^\circ$ となり両者共に統計的に有意( $P<0.001$ )であった。また、後者の矯正率は前者に比し19%高値であり、保存的治療の適応が脊柱の柔軟性が高い成長期まで<sup>1)-3)</sup>とされるように、加令に伴う構築性の側弯に対しては矯正度も低下するもので、ぶらさがりによる下半身の牽引力によってもその差異は生じるものであった。

## b) 腰椎椎体間の伸長

ぶらさがりによる Th<sub>12</sub>上縁～L<sub>4</sub>棘突起下部間の伸長は、相対標準偏差において中高年(C=53.9)、青年(C=49.8)と共に高く、何らかの要因が関与し個人差が生じるものと思われる。その要因を考察するにあたって予測出来ることは、1) 年令差による相違(中高年 5.99 mmに対し、青年 6.56 mmが認められた如く、加令に伴う髓核の水分欠陥によって伸長に変動をきたすこと) 2) 個々の生理的彎曲の相違(生理的彎曲の垂直性による伸長) 3) 個々の側弯度の相違(側弯の垂直性による伸長) 4) ぶらさ

表1 中高年における側弯度および腰椎椎体間の伸長

| Subj.<br>No | Extens-<br>ion | Curve<br>Stand. | (Cobb)<br>(burasagari) | Curve Point                     | Direction |
|-------------|----------------|-----------------|------------------------|---------------------------------|-----------|
| 1.          | 3.2            | 3.0             | 2.5                    | L <sub>4</sub>                  | >         |
| 2.          | 5.1            | 1.5             | 0                      | L <sub>2</sub>                  | >         |
| 3.          | 6.0            | 8.0             | 4.0                    | T <sub>12</sub> -L <sub>1</sub> | >         |
| 4.          | 10.2           | 10.0            | 4.5                    | L <sub>2-4</sub>                | >         |
| 5.          | 10.4           | 5.0             | 2.5                    | L <sub>3-4</sub>                | >         |
| 6.          | 3.8            | 5.0             | 1.5                    | L <sub>3</sub>                  | <         |
| 7.          | 0              | 2.0             | 1.0                    | L <sub>4-5</sub>                | >         |
| 8.          | 7.5            | 1.0             | 0                      | L <sub>4</sub>                  | >         |
| 9.          | 5.5            | 8.0             | 6.5                    | L <sub>2-3</sub>                | <         |
| 10.         | 8.2            | 3.5             | 3.0                    | L <sub>1-2</sub>                | <         |
| $\bar{X}$   | 5.99           | 4.70            | 2.55                   |                                 | $<=3$     |
| S.D.        | 3.23           | 3.08            | 2.06                   |                                 | $>=7$     |
| t           |                |                 | 4.04***                |                                 |           |

\*\*\*  $P<0.001$

表 2 青年における側彎度および腰椎椎体間の伸長

| Subj.<br>No | Exten-<br>sion | Curve (cobb)<br>Stand. (Burasagari) | Curve Point | Direction                       |
|-------------|----------------|-------------------------------------|-------------|---------------------------------|
| 1.          | 6.4            | 4.0                                 | 0           | L <sub>3-4</sub> <              |
| 2.          | 6.7            | 1.5                                 | 0           | L <sub>3</sub> >                |
| 3.          | 5.2            | 0                                   | 0           | / Straight                      |
| 4.          | 5.5            | 5.5                                 | 3.5         | L <sub>3</sub> <                |
| 5.          | 6.5            | 1.0                                 | 1.0         | L <sub>3</sub> >                |
| 6.          | 8.0            | 5.0                                 | 3.5         | L <sub>4</sub> >                |
| 7.          | 9.2            | 0                                   | 0           | / Straight                      |
| 8.          | 5.4            | 0                                   | 0           | / Straight                      |
| 9.          | 4.7            | 2.0                                 | 2.0         | L <sub>1</sub> <                |
| 10.         | 4.4            | 5.5                                 | 3.0         | L <sub>1-L<sub>4</sub></sub> S  |
| 11.         | 8.2            | 6.0                                 | 1.0         | L <sub>3-4</sub> >              |
| 12.         | 4.1            | 2.0                                 | 0           | L <sub>4</sub> >                |
| 13.         | 7.2            | 9.0                                 | 0           | L <sub>1-L<sub>3</sub></sub> S  |
| 14.         | 3.6            | 3.0                                 | 1.0         | L <sub>1-2</sub> >              |
| 15.         | 7.0            | 0                                   | 0           | / Straight                      |
| 16.         | 11.3           | 0                                   | 0           | / Straight                      |
| 17.         | 14.2           | 3.0                                 | 3.0         | L <sub>3</sub> >                |
| 18.         | 2.7            | 0                                   | 0           | / Straight                      |
| 19.         | 7.6            | 4.5                                 | 3.0         | L <sub>3</sub> <                |
| 20.         | 6.0            | 0                                   | 0           | / Straight                      |
| 21.         | 4.8            | 0                                   | 0           | / Straight                      |
| 22.         | 7.9            | 3.0                                 | 0           | L <sub>3</sub> >                |
| 23.         | 2.3            | 3.5                                 | 0           | T <sub>12-L<sub>1</sub></sub> > |
| 24.         | 5.2            | 0                                   | 0           | / Straight                      |
| 25.         | 2.6            | 2.0                                 | 1.0         | L <sub>3</sub> >                |
| 26.         | 11.9           | 7.0                                 | 1.0         | L <sub>3-4</sub> <              |
| 27.         | 3.5            | 6.0                                 | 1.5         | L <sub>1-4</sub> >              |
| 28.         | 10.4           | 5.0                                 | 1.0         | L <sub>2-3</sub> <              |
| 29.         | 15.1           | 7.0                                 | 4.5         | L <sub>3-4</sub> <              |
| 30.         | 3.1            | 7.0                                 | 3.0         | L <sub>4</sub> >                |
| 31.         | 2.0            | 4.0                                 | 1.5         | L <sub>2-3</sub> >              |
| 32.         | 5.2            | 0                                   | 0           | / Straight                      |
| 33.         | 8.7            | 4.0                                 | 2.0         | L <sub>2-4</sub> <              |
| 34.         | /              | 6.5                                 | 1.0         | L <sub>3</sub> <                |
| 35.         | /              | 5.5                                 | 3.5         | L <sub>3</sub> <                |
| 36.         | /              | 0                                   | 0           | / Straight                      |
| $\bar{X}$   | 6.56           | 3.13                                | 1.14        | <=10                            |
| S.D.        | 3.27           | 2.69                                | 1.37        | >=13                            |
| t           |                |                                     | 5.47***     | S = 2                           |
|             |                |                                     |             | Straight = 11                   |

\*\*\* P&lt;0.001

がり方法による相違（脱力時と腹部、広背部の筋緊張によるぶらさがり時の伸長差異）5) 形態による相違（相関は認められなかった）

以上の5点の相互作用により伸長差異が生じるものと思われる。

Judovich は牽引中の頸椎レ線像について、

C<sub>2</sub>～C<sub>7</sub> 椎体間の距離を計測し45ポンドの牽引により、この距離は2～13mm 多くは2～3mm 伸長する<sup>4)</sup>と報告しているが、今回著者らの行なったぶらさがりによる腰椎椎体間の伸長は、平均 6.43 mm であり、頸椎牽引よりも大きかった。これは椎間板自体も頸椎に比し大で、

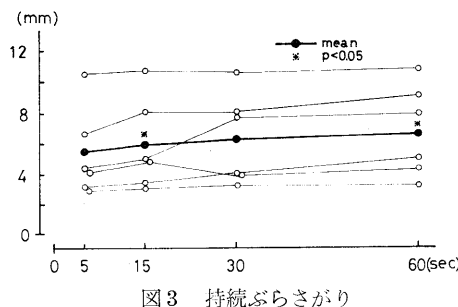


図3 持続ぶらさがり

かつ柔軟性も高値であることから十分推察され得る結果である。

#### c) 持続ぶらさがり

持続による各経過毎の伸長は、5, 15, 30, 60秒後、それぞれ平均 5.48, 5.92, 6.32, 6.72 mm を記録し、5 秒間に最も伸長した。(図 3) これは、ぶらさがり初期に腰椎椎間板に対して急激な下方への重錘が負荷され、以後は時間の経過と共に筋、筋膜、靭帯及び軟部支持組織の弛緩が促進され、漸進的な伸長を示すことによる結果で、持続による効果が認められるものである。

牽引療法において牽引時間の最も短かい間歇牽引でさえ、1~2 分を要することから、極力、最大持続によってぶらさがることが有効であることは言うまでもない。ましてや脊柱側彎症の矯正ともなると、牽引、Cast, Splint のいずれをとっても持続的な療法を施行していることから、限定された持続時間によるぶらさがりでは効果も低下するものと考えられる。しかし、ぶらさがりの対象が軽度の脊柱側彎とするならば、この限りではなかろう。

#### d) 負荷量の変化

腰椎牽引における牽引力は、疾病、症状あるいはレ線像を熟読した上で決定され、その牽引力は一般的に 5 kg から体重プラス 10 kg までとされている<sup>5)</sup>。著者らの行なったぶらさがり負荷は、上記の適応内に入るよう配慮し、その結果は次の通りであった。

被検者 6 例の 2/3 加重時は平均 4.42 mm の伸長を呈し、全体重の 6.33 mm に比し 30% 低値であった。(図 4) これは、被検者の主観的

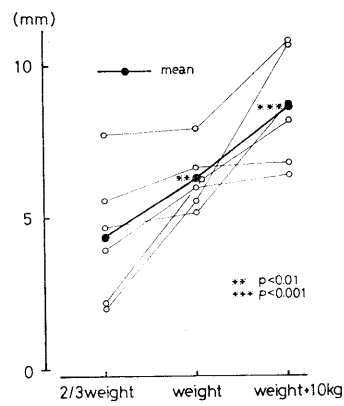


図4 負荷量の変化

判断による 2/3 加重なるもので相対標準偏差 ( $C=48.4$ ) は他と比べても高く、伸長が低値なる者にとっては負荷量は不十分となろう。しかし、牽引療法の効果が、断続による筋肉、腱、靭帯に対する一種のマッサージ効果による腫張の除去と循環促進の意味を持っていることから<sup>5)</sup> 間歇牽引の断続と類似した効果は期待出来るものと思う。

次に、体重プラス 10 kg 時においては、平均 8.67 mm の伸長を呈し、全体重時の 6.33 mm よりも 37% ( $P<0.001$ ) 高値であり、かなりの効果が認められた。ここで頸椎牽引において岡崎らが、牽引の重量を一定値より増すと筋肉の過度な伸展の為、あるいは疼痛のためにかえって頸部椎体間長が元の長さへと短縮する傾向を示す<sup>6)</sup> と報告したように、ぶらさがりでは各椎間板にかかる牽引力（腰部、臀部、下肢の総重量を 30 kg として）プラス 30~40 kg までが効果を満たすに可能な範囲といえる。

#### e) ぶらさがり後の経過

被検者 6 例におけるぶらさがり 30 秒後の腰椎椎体間の伸長は、平均 7.58 mm であった。その後、安静立位に戻ることにより 10, 20, 40 秒, 1, 5, 10 分後にはそれぞれ 2.48, 2.20, 1.90, 1.78, 1.32, 0.78 mm と統計的に有意 ( $P<0.001$ ) であり、減少率は 67, 71, 75, 77, 83, 90%, と立位 10 秒後には引き伸ばされた腰椎椎体間誤差の約 2/3 が短縮するものであった。(図 5)

以後はなだらかな減少傾向を示し、10分後においても0.78mm(10%)の伸長が残留していることから、腰椎椎体間の伸長が完全に消失するまでは約15~20分を要するものである。

よって、30秒間のぶらさがりにより、その効果は15~20分持続出来るものと推察される。ただし、今回の実験は条件を安静としたものであるが、歩行あるいは両手指による重量物の保持等によって異なるものであり、当然後者の場合は短縮度も急速となろう。

#### f) ぶらさがり周期

被検者6例におけるぶらさがり30秒後の伸

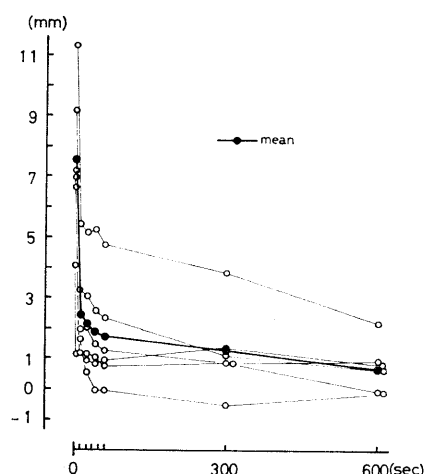


図5 ぶらさがり後の経過

長は6.37mmであり、30秒休息、10分休息、20分休息、30分休息のインターバルによる平均値は、それぞれ9.03, 7.45, 8.92, 6.93mmを示し、30秒休息にて最も頻度効果が認められた。(図6) これは前項目で論議した如く、第1期、第2期のぶらさがり周期が最も短期であり、残留度が高値であることからも認められる結果である。しかし、20分休息の結果は10分休息に比し高値を認め、30秒休息に次ぐ頻度効果を示した。その要因については、ぶらさがり方の相違によるものか、あるいは、20分休息が30分休息と同等の効果を示す頻度効果なるものか、決定的な根拠はなく判断しにくい。

以上の結果から、最大頻度効果を示すぶらさがりは30秒休息であり、short intervalによる集中的なぶらさがりを施行することにより、間歇牽引と同等の効果が期待出来るものである。また、10分休息、20分休息においても頻度効果は認められ、中でも20分休息の値は30秒休息の値に近似していることから、20分毎の定期的なぶらさがりにより、腰痛等の予防に有效となることが認められた。

尚、30分休息では頻度効果は不十分であったが、効果そのものを減じるものではなかった。

#### g) 牽引とぶらさがり

下肢伸展背臥位による重錘牽引20kg時の伸長は、30秒後において平均5.38mmであり、

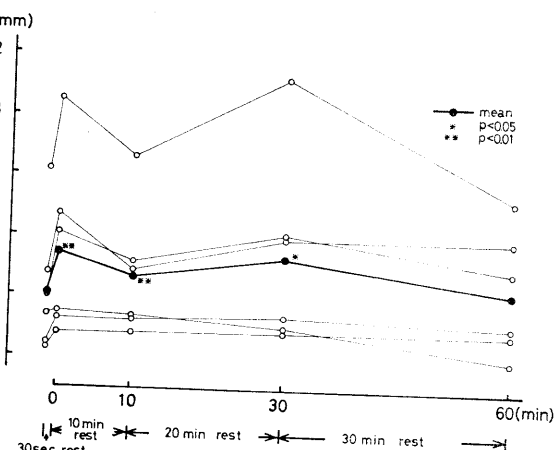


図6 ぶらさがり周期

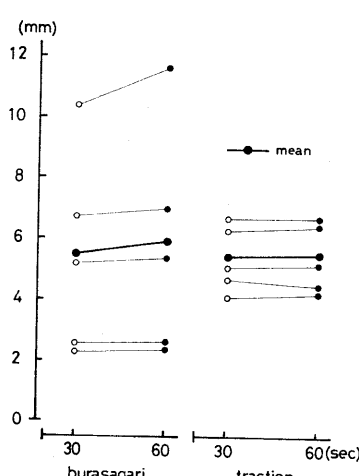


図7 奉引とぶらさがり

ぶらさがり 30 秒後の平均 5.44 mm と、両者の差は殆ど認められず、牽引重錘 20 kg 時とぶらさがりの腰部にかかる負荷量は同等のものであることが知られた。(図 7) 尚、他動的な腰椎牽引において、相対標準偏差 ( $C=21.8$ ) は小さい値を示したが、ぶらさがりでは ( $C=66.4$ ) その個人差は大であった。ここで伸長の差異が、ぶらさがり方の相違による個人差とみなすならば、効率の良いぶらさがり処方に、牽引 20 kg 時以上の効果を誘発することが可能となる。しかし、逆に不適当な処方に効果が低下する場合も考えられ、その適応と実施には慎重を期すべきであろう。尚、持続 1 分後の結果は両者共に伸長傾向を示し、牽引においても持続による効果が認められた。

#### h) 前、後部椎間長および椎間角

ぶらさがりにより、 $L_{4-5}$ ,  $L_{5-S}$  の前部椎間長はそれぞれ安静立位 15.75 mm から 15.85 mm, 15.30 mm から 1.698 mm へと共に 2%, 13% の開大傾向を示した。(表 3)

$L_{4-5}$  の後部椎間長は 7.65 mm から 9.03 mm ( $P<0.001$ ) へと 19% の開大率をみるもの、 $L_{5-S}$  においては 8.10 mm から 7.83 mm へと 3% の狭小傾向を示した。しかし、この狭小率は  $L_{5-S}$  前部椎間長の 13% 開大に比し低値であった。

$L_{4-5}$  における椎間角は、角度の減少がみられたが、 $L_{5-S}$  においては逆に増大傾向を示した。

この結果からぶらさがりは、各椎体間における髓核への陰圧を及ぼすものとなり、椎間内部の代謝が改善されることを示唆する。

#### i) 前屈位ぶらさがり

$L_{4-5}$ ,  $L_{5-S}$  前部椎間腔は 80° 屈曲位にて最も小さく、以下 90°, 135° 屈曲位の順であり、角度の増加に伴い狭小化にあった。(表 4-1, 2)

$L_{4-5}$ ,  $L_{5-S}$  後部椎間腔は、前部椎間腔とは対象的に、角度の増大に伴い開大化にあった。

$L_{4-5}$ ,  $L_{5-S}$  の椎間角は、角度の増大に伴い減少傾向にあった。

以上の結果は、前項目での単なる伸展位ぶらさがりにおける  $L_{5-S}$  後部椎間腔の不十分な点の補充となるが、過度な 80° 屈曲位静止時の場合、逆に前部椎間腔の狭小化が著しく、かつ後部椎間腔の開大率が低下することから、最も効果的なぶらさがりは、前屈位 135°～90° である。

## 結 語

以上の X 線学的検索からぶらさがりは、下記の諸点により整形外科における牽引療法と同等の効果が期待出来るものである。

1) ぶらさがりにより腰椎の生理的彎曲が垂直性の伸展を示し、椎体間も平均 6.43 mm の伸長を認めることから、腰椎前彎に起因する椎間関節性の疼痛を軽減する意味において有効的な方法となる。

2) ぶらさがりにより  $L_{4-5}$  前、後部椎間腔が開大し、かつ椎間角が減少することによって椎間孔の開大を誘発する要因となることから、椎間板脱出に起因する神経根圧迫症状の軽減となる。

3) 反復による筋、筋膜、韌帯ことに後縦韌帯に対する適度の収縮、弛緩により、緊張性疼痛の緩和となる。

4) 軽度脊柱側彎に対する矯正の意味において有効となる。

また、効果的方法は、持続、頻度、負荷をそれぞれ併せ、股関節 153°～90° 屈曲位にてぶら

表 3 前・後部椎間長

| Subj.<br>No | L <sub>4</sub> ……L <sub>5</sub> |                         |                       |                         |                        |                         |                        |                       |      |
|-------------|---------------------------------|-------------------------|-----------------------|-------------------------|------------------------|-------------------------|------------------------|-----------------------|------|
|             | Standing                        |                         |                       | Burasagari              |                        |                         |                        |                       |      |
|             | La <sub>1</sub><br>(mm)         | La <sub>2</sub><br>(mm) | θ <sub>1</sub><br>(°) | La <sub>1</sub><br>(mm) | La <sub>1</sub><br>(%) | La <sub>2</sub><br>(mm) | La <sub>2</sub><br>(%) | θ <sub>1</sub><br>(%) |      |
| 1.          | 16.0                            | 7.0                     | 13.5                  | 15.0                    | 94                     | 8.0                     | 114                    | 11.0                  | 81   |
| 2.          | 13.0                            | 9.0                     | 6.0                   | 14.0                    | 108                    | 10.0                    | 111                    | 6.5                   | 108  |
| 3.          | 15.0                            | 7.5                     | 12.0                  | 16.0                    | 107                    | 10.0                    | 133                    | 9.0                   | 75   |
| 4.          | 17.0                            | 7.0                     | 17.0                  | 16.0                    | 94                     | 8.5                     | 121                    | 13.0                  | 76   |
| 5.          | 16.0                            | 7.0                     | 15.0                  | 18.0                    | 109                    | 8.5                     | 121                    | 15.0                  | 100  |
| 6.          | 15.0                            | 6.0                     | 12.0                  | 14.0                    | 93                     | 7.0                     | 117                    | 10.0                  | 83   |
| 7.          | 15.0                            | 8.0                     | 10.0                  | 15.0                    | 100                    | 12.0                    | 150                    | 5.0                   | 50   |
| 8.          | 19.0                            | 8.0                     | 13.0                  | 20.0                    | 105                    | 9.0                     | 113                    | 12.0                  | 92   |
| 9.          | 18.0                            | 7.0                     | 17.0                  | 18.0                    | 100                    | 9.0                     | 129                    | 13.0                  | 76   |
| 10.         | 18.5                            | 8.0                     | 15.0                  | 17.5                    | 95                     | 10.0                    | 125                    | 11.5                  | 77   |
| 11.         | 18.0                            | 8.0                     | 15.0                  | 18.0                    | 100                    | 8.5                     | 106                    | 15.5                  | 103  |
| 12.         | 20.0                            | 7.0                     | 18.0                  | 18.0                    | 90                     | 9.0                     | 129                    | 14.0                  | 78   |
| 13.         | 16.0                            | 6.5                     | 15.0                  | 16.0                    | 100                    | 8.0                     | 123                    | 11.5                  | 77   |
| 14.         | 16.5                            | 8.0                     | 12.0                  | 16.0                    | 99                     | 9.0                     | 113                    | 10.0                  | 83   |
| 15.         | 11.0                            | 8.0                     | 5.0                   | 12.0                    | 109                    | 8.0                     | 100                    | 5.5                   | 110  |
| 16.         | 14.5                            | 6.0                     | 12.0                  | 13.5                    | 93                     | 7.0                     | 117                    | 10.0                  | 83   |
| 17.         | 20.0                            | 10.0                    | 16.0                  | 18.0                    | 90                     | 11.0                    | 110                    | 11.0                  | 69   |
| 18.         | 10.0                            | 9.0                     | 2.0                   | 10.0                    | 100                    | 10.0                    | 111                    | 0                     | 0    |
| 19.         | 11.0                            | 10.0                    | 9.0                   | 16.0                    | 145                    | 11.0                    | 110                    | 7.5                   | 83   |
| 20.         | 15.0                            | 6.0                     | 12.0                  | 16.0                    | 107                    | 7.0                     | 117                    | 11.5                  | 96   |
| X           | 15.75                           | 7.65                    | 12.33                 | 15.85                   | 101.9                  | 9.03                    | 118.5                  | 10.13                 | 80.0 |
| S.D.        | 2.87                            | 1.19                    | 4.20                  | 2.36                    |                        | 1.39                    |                        | 3.75                  |      |
| t           |                                 |                         |                       | 0.29                    |                        | 7.31***                 |                        | 5.48***               |      |

表 4-1 前屈位ぶらさがりにおける

| Subj.<br>No | Standing                |                         |                       | Burasagari              |                        |                         |                        | Burasagari            |                       |                         |                         |                        |       |
|-------------|-------------------------|-------------------------|-----------------------|-------------------------|------------------------|-------------------------|------------------------|-----------------------|-----------------------|-------------------------|-------------------------|------------------------|-------|
|             | La <sub>1</sub><br>(mm) | La <sub>2</sub><br>(mm) | θ <sub>1</sub><br>(°) | La <sub>1</sub><br>(mm) | La <sub>1</sub><br>(%) | La <sub>2</sub><br>(mm) | La <sub>2</sub><br>(%) | θ <sub>1</sub><br>(°) | θ <sub>1</sub><br>(%) | La <sub>1</sub><br>(mm) | La <sub>2</sub><br>(mm) | La <sub>2</sub><br>(%) |       |
|             | (mm)                    | (mm)                    | (°)                   | (mm)                    | (%)                    | (mm)                    | (%)                    | (°)                   | (%)                   | (mm)                    | (mm)                    | (%)                    |       |
| 1.          | 14.5                    | 6.0                     | 12.0                  | 13.5                    | 93                     | 7.0                     | 117                    | 10.0                  | 83                    | 10.0                    | 69                      | 11.0                   | 183   |
| 2.          | 20.0                    | 10.0                    | 16.0                  | 18.0                    | 90                     | 11.0                    | 110                    | 11.0                  | 69                    | 15.0                    | 75                      | 12.0                   | 120   |
| 3.          | 10.0                    | 9.0                     | 2.0                   | 10.0                    | 100                    | 10.0                    | 111                    | 0                     | 0                     | 11.0                    | 110                     | 10.0                   | 111   |
| 4.          | 11.0                    | 10.0                    | 9.0                   | 16.0                    | 145                    | 11.0                    | 110                    | 7.5                   | 83                    | 12.0                    | 109                     | 14.0                   | 140   |
| 5.          | 15.0                    | 6.0                     | 12.0                  | 16.0                    | 107                    | 7.0                     | 117                    | 11.5                  | 96                    | 14.5                    | 97                      | 10.5                   | 175   |
| X           | 14.10                   | 8.00                    | 10.20                 | 14.70                   | 107.0                  | 8.67                    | 113.0                  | 8.00                  | 66.2                  | 12.50                   | 92.0                    | 11.50                  | 145.8 |
| S.D.        | 3.94                    | 2.10                    | 5.22                  | 3.07                    |                        | 2.42                    |                        | 2.12                  |                       | 0.98                    |                         | 1.58                   |       |
| t           |                         |                         |                       | 0.50                    |                        | 3.16***                 |                        | 2.93**                |                       | 1.22                    |                         | 4.30***                |       |

表 4-2 前屈位ぶらさがりにおける

| Subj.<br>No | Standing                |                         |                       | Burasagari              |                         |                       |                         | Burasagari              |                       |                         |                         |                        |       |
|-------------|-------------------------|-------------------------|-----------------------|-------------------------|-------------------------|-----------------------|-------------------------|-------------------------|-----------------------|-------------------------|-------------------------|------------------------|-------|
|             | La <sub>3</sub><br>(mm) | La <sub>4</sub><br>(mm) | θ <sub>2</sub><br>(°) | La <sub>3</sub><br>(mm) | La <sub>4</sub><br>(mm) | θ <sub>2</sub><br>(°) | La <sub>3</sub><br>(mm) | La <sub>4</sub><br>(mm) | θ <sub>2</sub><br>(°) | La <sub>3</sub><br>(mm) | La <sub>4</sub><br>(mm) | La <sub>4</sub><br>(%) |       |
|             | (mm)                    | (mm)                    | (°)                   | (mm)                    | (%)                     | (mm)                  | (%)                     | (°)                     | (%)                   | (mm)                    | (mm)                    | (%)                    |       |
| 1.          | 11.0                    | 6.0                     | 7.5                   | 13.0                    | 118                     | 4.0                   | 67                      | 15.0                    | 83                    | 9.5                     | 86                      | 7.0                    | 117   |
| 2.          | 15.0                    | 10.0                    | 9.0                   | 11.0                    | 73                      | 10.0                  | 100                     | 9.0                     | 69                    | 13.0                    | 87                      | 12.5                   | 125   |
| 3.          | 13.0                    | 9.0                     | 8.0                   | 16.0                    | 119                     | 9.0                   | 100                     | 11.0                    | 0                     | 12.5                    | 93                      | 8.0                    | 89    |
| 4.          | 15.0                    | 8.0                     | 13.0                  | 17.0                    | 113                     | 8.0                   | 100                     | 15.0                    | 83                    | 13.0                    | 87                      | 11.0                   | 138   |
| 5.          | 17.0                    | 5.0                     | 17.0                  | 17.5                    | 103                     | 5.0                   | 100                     | 17.5                    | 96                    | 13.5                    | 79                      | 13.0                   | 260   |
| X           | 14.30                   | 7.60                    | 10.90                 | 14.90                   | 105.2                   | 7.20                  | 93.4                    | 13.50                   | 66.2                  | 12.30                   | 86.4                    | 10.30                  | 133.8 |
| S.D.        | 2.23                    | 2.07                    | 4.04                  | 2.79                    |                         | 2.59                  |                         | 3.43                    |                       | 1.61                    |                         | 2.68                   |       |
| t           |                         |                         |                       | 0.50                    |                         | 1.00                  |                         | 1.95                    |                       | 4.78***                 |                         | 1.80                   |       |

および椎間角

| L <sub>5</sub> ···S |                 |                |                 |       |      |                 |         |       |
|---------------------|-----------------|----------------|-----------------|-------|------|-----------------|---------|-------|
| Standing            |                 |                | Burasagari      |       |      |                 |         |       |
| La <sub>3</sub>     | La <sub>4</sub> | θ <sub>2</sub> | La <sub>3</sub> | (mm)  | (%)  | La <sub>4</sub> | (mm)    | (%)   |
| (mm)                | (mm)            | (°)            |                 |       |      |                 |         |       |
| 15.0                | 8.0             | 11.0           | 16.0            | 107   | 7.5  | 94              | 12.0    | 109   |
| 14.5                | 8.0             | 10.0           | 17.0            | 117   | 7.0  | 88              | 17.0    | 170   |
| 14.0                | 8.5             | 10.5           | 17.0            | 121   | 9.0  | 106             | 16.5    | 157   |
| 18.0                | 9.0             | 17.0           | 19.0            | 106   | 9.0  | 100             | 18.5    | 109   |
| 17.0                | 7.5             | 14.5           | 21.0            | 124   | 8.0  | 107             | 19.0    | 131   |
| 14.0                | 6.0             | 12.5           | 15.0            | 107   | 5.5  | 92              | 14.0    | 112   |
| 16.0                | 10.0            | 9.5            | 22.5            | 141   | 10.0 | 100             | 18.0    | 189   |
| 16.0                | 7.5             | 14.0           | 18.5            | 116   | 8.0  | 107             | 17.0    | 121   |
| 18.0                | 9.0             | 14.5           | 21.0            | 117   | 10.0 | 116             | 18.5    | 128   |
| 14.0                | 10.0            | 7.0            | 11.5            | 82    | 10.0 | 100             | 11.0    | 157   |
| 16.5                | 12.0            | 8.5            | 18.0            | 109   | 10.0 | 88              | 18.0    | 153   |
| 15.5                | 8.0             | 13.5           | 19.0            | 123   | 7.0  | 88              | 19.5    | 144   |
| 11.5                | 8.5             | 5.0            | 16.5            | 143   | 7.5  | 88              | 16.0    | 320   |
| 18.0                | 5.0             | 19.5           | 18.5            | 103   | 5.0  | 100             | 20.0    | 108   |
| 14.0                | 7.0             | 11.0           | 15.0            | 107   | 7.0  | 100             | 12.0    | 109   |
| 11.0                | 6.0             | 7.5            | 13.0            | 118   | 4.0  | 67              | 15.0    | 200   |
| 15.0                | 10.0            | 9.0            | 11.0            | 73    | 10.0 | 100             | 9.0     | 100   |
| 13.5                | 9.0             | 8.0            | 16.0            | 119   | 9.0  | 100             | 11.0    | 138   |
| 15.0                | 8.0             | 13.0           | 17.0            | 113   | 8.0  | 100             | 15.0    | 115   |
| 17.0                | 5.0             | 17.0           | 17.5            | 103   | 5.0  | 100             | 17.5    | 103   |
| 15.30               | 8.10            | 11.63          | 16.98           | 112.5 | 7.83 | 96.8            | 15.48   | 143.7 |
| 1.96                | 1.76            | 3.77           | 3.13            |       | 1.87 |                 | 3.23    |       |
|                     |                 |                | 3.41***         |       | 1.57 |                 | 5.66*** |       |

%=[(burasagari) mm &amp; °/(standing) mm &amp; °]×100

\*\*\* P&lt;0.001

L<sub>4-5</sub> 前・後部椎間長および椎間角

| Burasagari 90° |      |                 |      |                 |       |                |       |                 | Burasagari 80° |                 |       |                |       |     |     |     |     |
|----------------|------|-----------------|------|-----------------|-------|----------------|-------|-----------------|----------------|-----------------|-------|----------------|-------|-----|-----|-----|-----|
| θ <sub>1</sub> |      | La <sub>1</sub> |      | La <sub>2</sub> |       | θ <sub>1</sub> |       | La <sub>1</sub> |                | La <sub>2</sub> |       | θ <sub>1</sub> |       |     |     |     |     |
| (°)            | (%)  | (mm)            | (%)  | (mm)            | (%)   | (°)            | (%)   | (mm)            | (%)            | (mm)            | (%)   | (°)            | (%)   | (°) | (%) | (°) | (%) |
| -1.5           | -13  | 11.0            | 76   | 12.5            | 208   | -3.5           | -29   | 9.0             | 62             | 13.0            | 217   | -6.0           | -50   |     |     |     |     |
| 5.0            | 31   | 13.5            | 68   | 13.0            | 130   | 1.0            | 6     | 14.0            | 70             | 14.0            | 145   | -1.0           | -6    |     |     |     |     |
| -1.0           | -50  | 9.0             | 90   | 11.5            | 128   | -5.5           | -275  | 10.0            | 100            | 12.5            | 139   | -5.5           | -28   |     |     |     |     |
| 3.0            | 33   | 12.0            | 109  | 16.5            | 165   | -6.5           | -72   | 11.0            | 100            | 14.0            | 140   | -5.0           | -56   |     |     |     |     |
| 8.5            | 71   | 12.0            | 80   | 1.0             | 167   | 1.0            | 8     | 12.0            | 80             | 11.0            | 183   | 1.0            | 8     |     |     |     |     |
| 2.80           | 14.4 | 11.50           | 84.6 | 12.70           | 159.6 | -1.30          | -72.4 | 11.20           | 82.4           | 13.00           | 164.6 | -3.00          | -26.4 |     |     |     |     |
| 4.19           |      | 1.66            |      | 2.41            |       | 4.42           |       | 1.92            |                | 1.37            |       | 3.11           |       |     |     |     |     |
| 3.55**         |      | 2.07            |      | 5.29***         |       | 7.03***        |       | 2.25*           |                | 7.95***         |       | 6.97***        |       |     |     |     |     |

%=[(burasagari) mm &amp; °/(standing) mm &amp; °]×100

\* P&lt;0.05 \*\* P&lt;0.01 \*\*\* P&lt;0.001

L<sub>5</sub>-S 前・後部椎間長および椎間角

| Burasagari 90° |      |                 |      |                 |       |                |      |                 | Burasagari 80° |                 |       |                |     |     |     |     |     |
|----------------|------|-----------------|------|-----------------|-------|----------------|------|-----------------|----------------|-----------------|-------|----------------|-----|-----|-----|-----|-----|
| θ <sub>2</sub> |      | La <sub>3</sub> |      | La <sub>4</sub> |       | θ <sub>2</sub> |      | La <sub>3</sub> |                | La <sub>4</sub> |       | θ <sub>2</sub> |     |     |     |     |     |
| (°)            | (%)  | (mm)            | (%)  | (mm)            | (%)   | (°)            | (%)  | (mm)            | (%)            | (mm)            | (%)   | (°)            | (%) | (°) | (%) | (°) | (%) |
| 4.0            | 53   | 12.0            | 109  | 11.5            | 192   | 1.0            | 13   | 9.5             | 86             | 9.0             | 150   | -1.0           | -13 |     |     |     |     |
| 1.0            | 11   | 13.0            | 87   | 13.5            | 135   | -1.0           | -11  | 11.5            | 77             | 14.0            | 140   | -4.0           | -44 |     |     |     |     |
| 8.0            | 100  | 11.5            | 85   | 9.0             | 100   | 5.5            | 69   | 12.5            | 93             | 9.5             | 106   | 4.0            | 50  |     |     |     |     |
| 5.0            | 38   | 13.0            | 87   | 11.5            | 144   | 3.0            | 23   | 11.5            | 77             | 12.5            | 156   | -1.0           | -8  |     |     |     |     |
| 8.0            | 47   | 13.5            | 79   | 10.0            | 200   | 10.0           | 59   | 12.5            | 74             | 9.0             | 180   | 8.0            | 47  |     |     |     |     |
| 5.20           | 49.8 | 12.60           | 89.4 | 11.10           | 154.2 | 3.70           | 30.2 | 11.50           | 81.4           | 10.80           | 146.4 | 1.20           | 6.4 |     |     |     |     |
| 2.95           |      | 0.82            |      | 1.71            |       | 4.27           |      | 1.23            |                | 2.31            |       | 4.76           |     |     |     |     |     |
| 3.32**         |      | 2.31**          |      | 3.63**          |       | 5.20***        |      | 4.22**          |                | 4.46**          |       | 5.43***        |     |     |     |     |     |

%=[(burasagari) mm &amp; °/(standing) mm &amp; °]×100

\*\* P&lt;0.01 \*\*\* P&lt;0.001

さがることである。

最後に、牽引療法の禁忌として脊椎の感染症、骨粗鬆症、心臓疾患等が指摘されているが如くぶらさがりもその例外ではないことから、ある程度の期間施行して逆に腰痛が進行性を呈すようであれば、専門医との連絡を図り慎重を期すべきであろう。

### 文 献

- 1) 公文 裕:「脊柱側弯症の治療体系」整形外科, 25: 735-743 1974.
- 2) 山本博司:「脊柱側弯症の保存的治療」

- 3) 井上駿一:「脊柱側弯症の治療」整形外科, 20: 224-241 1969.
- 4) 鶴海寛治:「頸部脊椎骨軟骨症に対する頭部牽引療法の効果と限界」中部整災誌, 6: 343-347 1963.
- 5) Judvich B.D.: Herniated cervical Disc. Am. J. Surg., 84, 646, 1952.
- 6) 岡崎清二:「頸椎牽引の臨床的意義について」中部日本整形外科, 12: 200-203 1969.
- 7) Clarke E. Robinson P.K: Cervical myopathy, A complication of cervical spondylosis. Brain, 79, 483, 1956.
- 8) 河村慎視:「腰痛症に対する腰椎前屈位牽引法」中部整災誌, 14: 815-820 1971.